

ANEXO 1: TABLAS DE SUPERVIVIENCIA

Tabla de supervivencia

	Tiempo	Estado	Proporción acumulada que sobrevive hasta el momento		Nº de eventos acumulados	Nº de casos que permanecen
			Estimación	Error típico		
1	4,000	1	,980	,020	1	49
2	43,000	1	,960	,028	2	48
3	73,000	1	,940	,034	3	47
4	74,000	1	,920	,038	4	46
5	176,000	1	,900	,042	5	45
6	196,000	1	,880	,046	6	44
7	226,000	1	,860	,049	7	43
8	246,000	1	,840	,052	8	42
9	306,000	1	,820	,054	9	41
10	579,000	1	,800	,057	10	40
11	624,000	1	,780	,059	11	39
12	645,000	1	,760	,060	12	38
13	804,000	1	,740	,062	13	37
14	969,000	1	,720	,063	14	36
15	1142,000	1	,700	,065	15	35
16	1229,000	1	,680	,066	16	34
17	1370,000	1	,660	,067	17	33
18	1449,000	1	,640	,068	18	32
19	1557,000	1	,620	,069	19	31
20	1584,000	1	,600	,069	20	30
21	1837,000	1	,580	,070	21	29
22	1964,000	1	,560	,070	22	28
23	2074,000	1	,540	,070	23	27
24	2105,000	1	,520	,071	24	26
25	2150,000	1	,500	,071	25	25
26	2451,000	1	,480	,071	26	24
27	2618,000	1	,460	,070	27	23
28	2772,000	1	,440	,070	28	22
29	2887,000	1	,420	,070	29	21
30	3061,000	0	.	.	29	20
31	3127,000	1	,399	,069	30	19
32	3197,000	1	,378	,069	31	18
33	3317,000	0	.	.	31	17
34	3378,000	1	,356	,068	32	16
35	3620,000	0	.	.	32	15
36	3723,000	0	.	.	32	14
37	3817,000	0	.	.	32	13
38	4023,000	0	.	.	32	12
39	4245,000	1	,326	,069	33	11
40	4375,000	0	.	.	33	10
41	4400,000	0	.	.	33	9
42	4679,000	1	,290	,070	34	8
43	4978,000	0	.	.	34	7
44	5128,000	0	.	.	34	6
45	5162,000	0	.	.	34	5
46	5390,000	0	.	.	34	4
47	5529,000	0	.	.	34	3
48	5840,000	0	.	.	34	2
49	5878,000	0	.	.	34	1
50	6551,000	0	.	.	34	0

Tabla 9: Tabla de supervivencia

Tabla de supervivencia

CD34 Peritumoral	Tiempo	Estado	Proporción acumulada que sobrevive hasta el momento		Nº de eventos acumulados	Nº de casos que permanecen	
			Estimación	Error típico			
0	1	2451,000	1	,500	,354	1	1
	2	5390,000	0	.	.	1	0
1	1	73,000	1	,960	,039	1	24
	2	74,000	1	,920	,054	2	23
	3	196,000	1	,880	,065	3	22
	4	306,000	1	,840	,073	4	21
	5	579,000	1	,800	,080	5	20
	6	624,000	1	,760	,085	6	19
	7	645,000	1	,720	,090	7	18
	8	1370,000	1	,680	,093	8	17
	9	1449,000	1	,640	,096	9	16
	10	1557,000	1	,600	,098	10	15
	11	1837,000	1	,560	,099	11	14
	12	2105,000	1	,520	,100	12	13
	13	2887,000	1	,480	,100	13	12
	14	3127,000	1	,440	,099	14	11
	15	3317,000	0	.	.	14	10
	16	3378,000	1	,396	,099	15	9
	17	3723,000	0	.	.	15	8
	18	4023,000	0	.	.	15	7
	19	4375,000	0	.	.	15	6
	20	4400,000	0	.	.	15	5
	21	4679,000	1	,317	,106	16	4
	22	4978,000	0	.	.	16	3
	23	5162,000	0	.	.	16	2
	24	5529,000	0	.	.	16	1
	25	6551,000	0	.	.	16	0
2	1	4,000	1	,957	,043	1	22
	2	43,000	1	,913	,059	2	21
	3	176,000	1	,870	,070	3	20
	4	226,000	1	,826	,079	4	19
	5	246,000	1	,783	,086	5	18
	6	804,000	1	,739	,092	6	17
	7	969,000	1	,696	,096	7	16
	8	1142,000	1	,652	,099	8	15
	9	1229,000	1	,609	,102	9	14
	10	1584,000	1	,565	,103	10	13
	11	1964,000	1	,522	,104	11	12
	12	2074,000	1	,478	,104	12	11
	13	2150,000	1	,435	,103	13	10
	14	2618,000	1	,391	,102	14	9
	15	2772,000	1	,348	,099	15	8
	16	3061,000	0	.	.	15	7
	17	3197,000	1	,298	,097	16	6
	18	3620,000	0	.	.	16	5
	19	3817,000	0	.	.	16	4
	20	4245,000	1	,224	,097	17	3
	21	5128,000	0	.	.	17	2
	22	5840,000	0	.	.	17	1
	23	5878,000	0	.	.	17	0

Tabla 10: Tabla de supervivencia marcador CD34 peritumoral

Tabla de supervivencia

CD34 Tumoral	Tiempo	Estado	Proporción acumulada que sobrevive hasta el momento		Nº de eventos acumulados	Nº de casos que permanecen	
			Estimación	Error típico			
2	1	579,000	1	,900	,095	1	9
	2	624,000	1	,800	,126	2	8
	3	1370,000	1	,700	,145	3	7
	4	1557,000	1	,600	,155	4	6
	5	2451,000	1	,500	,158	5	5
	6	2887,000	1	,400	,155	6	4
	7	3127,000	1	,300	,145	7	3
	8	4023,000	0	.	.	7	2
	9	5162,000	0	.	.	7	1
	10	5529,000	0	.	.	7	0
3	1	4,000	1	,975	,025	1	39
	2	43,000	1	,950	,034	2	38
	3	73,000	1	,925	,042	3	37
	4	74,000	1	,900	,047	4	36
	5	176,000	1	,875	,052	5	35
	6	196,000	1	,850	,056	6	34
	7	226,000	1	,825	,060	7	33
	8	246,000	1	,800	,063	8	32
	9	306,000	1	,775	,066	9	31
	10	645,000	1	,750	,068	10	30
	11	804,000	1	,725	,071	11	29
	12	969,000	1	,700	,072	12	28
	13	1142,000	1	,675	,074	13	27
	14	1229,000	1	,650	,075	14	26
	15	1449,000	1	,625	,077	15	25
	16	1584,000	1	,600	,077	16	24
	17	1837,000	1	,575	,078	17	23
	18	1964,000	1	,550	,079	18	22
	19	2074,000	1	,525	,079	19	21
	20	2105,000	1	,500	,079	20	20
	21	2150,000	1	,475	,079	21	19
	22	2618,000	1	,450	,079	22	18
	23	2772,000	1	,425	,078	23	17
	24	3061,000	0	.	.	23	16
	25	3197,000	1	,398	,078	24	15
	26	3317,000	0	.	.	24	14
	27	3378,000	1	,370	,077	25	13
	28	3620,000	0	.	.	25	12
	29	3723,000	0	.	.	25	11
	30	3817,000	0	.	.	25	10
	31	4245,000	1	,333	,078	26	9
	32	4375,000	0	.	.	26	8
	33	4400,000	0	.	.	26	7
	34	4679,000	1	,285	,080	27	6
	35	4978,000	0	.	.	27	5
	36	5128,000	0	.	.	27	4
	37	5390,000	0	.	.	27	3
	38	5840,000	0	.	.	27	2
	39	5878,000	0	.	.	27	1
	40	6551,000	0	.	.	27	0

Tabla 11: Tabla de supervivencia del marcador CD34 tumoral

Tabla de supervivencia

ki67 Tumoral	Tiempo	Estado	Proporción acumulada que sobrevive hasta el momento		Nº de eventos acumulados	Nº de casos que permanecen
			Estimación	Error típico		
,00	1	645,000	1 ,833	,152	1	5
	2	969,000	1 ,667	,192	2	4
	3	2150,000	1 ,500	,204	3	3
	4	2451,000	1 ,333	,192	4	2
	5	3378,000	1 ,167	,152	5	1
	6	6551,000	0	.	5	0
1,00	1	4,000	1 ,974	,025	1	38
	2	43,000	1 ,949	,035	2	37
	3	73,000	1 ,923	,043	3	36
	4	74,000	1 ,897	,049	4	35
	5	176,000	1 ,872	,054	5	34
	6	196,000	1 ,846	,058	6	33
	7	226,000	1 ,821	,061	7	32
	8	246,000	1 ,795	,065	8	31
	9	306,000	1 ,769	,067	9	30
	10	579,000	1 ,744	,070	10	29
	11	624,000	1 ,718	,072	11	28
	12	804,000	1 ,692	,074	12	27
	13	1142,000	1 ,667	,075	13	26
	14	1229,000	1 ,641	,077	14	25
	15	1370,000	1 ,615	,078	15	24
	16	1449,000	1 ,590	,079	16	23
	17	1557,000	1 ,564	,079	17	22
	18	1837,000	1 ,538	,080	18	21
	19	1964,000	1 ,513	,080	19	20
	20	2074,000	1 ,487	,080	20	19
	21	2105,000	1 ,462	,080	21	18
	22	2772,000	1 ,436	,079	22	17
	23	2887,000	1 ,410	,079	23	16
	24	3127,000	1 ,385	,078	24	15
	25	3197,000	1 ,359	,077	25	14
	26	3317,000	0	.	25	13
	27	3620,000	0	.	25	12
	28	3723,000	0	.	25	11
	29	3817,000	0	.	25	10
	30	4023,000	0	.	25	9
	31	4375,000	0	.	25	8
	32	4400,000	0	.	25	7
	33	4679,000	1 ,308	,081	26	6
	34	4978,000	0	.	26	5
	35	5128,000	0	.	26	4
	36	5162,000	0	.	26	3
	37	5390,000	0	.	26	2
	38	5840,000	0	.	26	1
	39	5878,000	0	.	26	0
2,00	1	1584,000	1 ,800	,179	1	4
	2	2618,000	1 ,600	,219	2	3
	3	3061,000	0	.	2	2
	4	4245,000	1 ,300	,239	3	1
	5	5529,000	0	.	3	0

Tabla 12: Tabla de supervivencia del marcador Ki67 tumoral

ANEXO 2: IMÁGENES

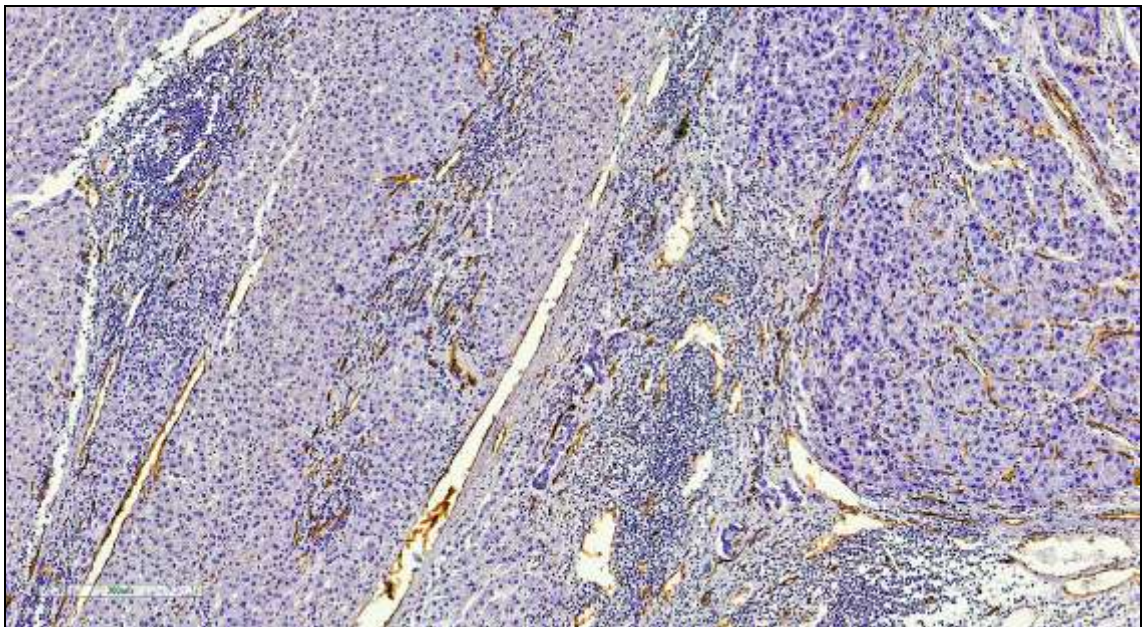


Figura 13: Tinción del marcador CD34 en la zona peritumoral. (Fotografía tomada en el Servicio de Anatomía Patológica del HCULB).

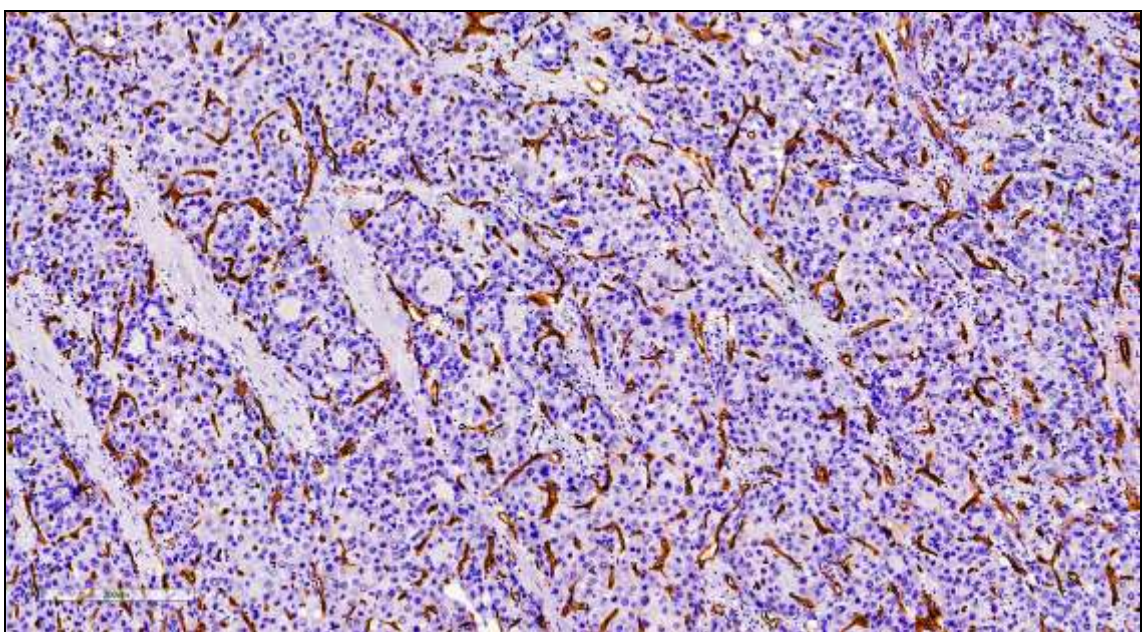


Figura 14: Marcada inmunorreactividad frente al CD34 en las células endoteliales en un hepatocarcinoma bien diferenciado (Fotografía tomada en el Servicio de Anatomía Patológica del HCULB).

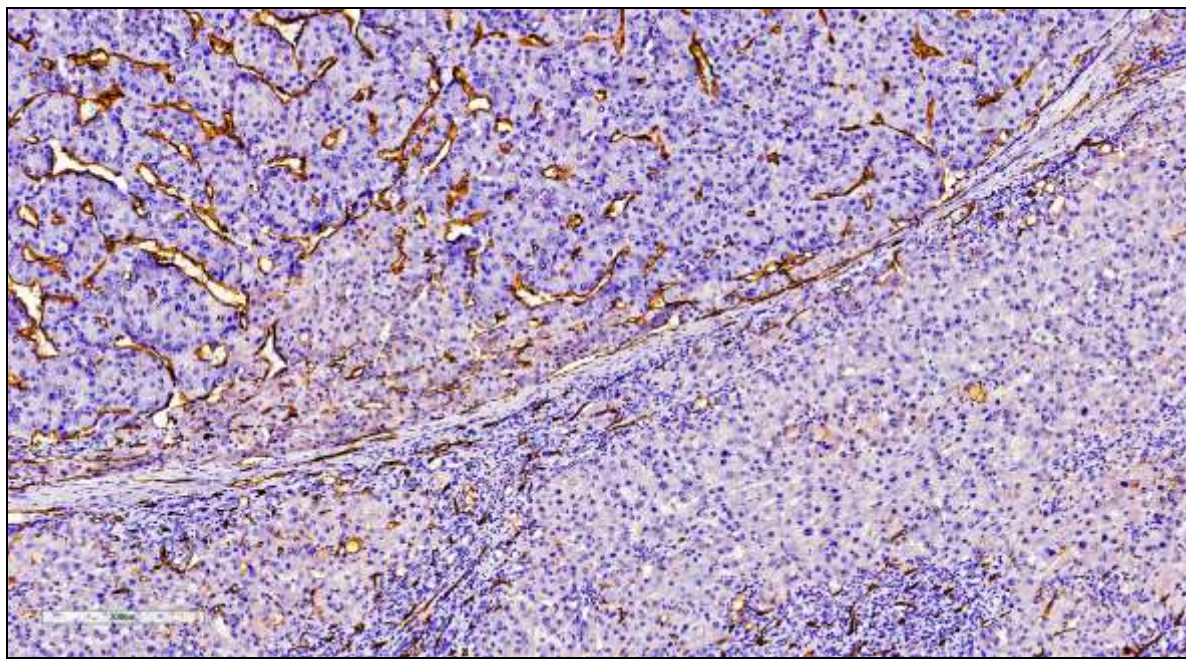


Figura 15: Tinción del marcador CD34 en el tejido tumoral y peritumoral. Se observa un septo fibroso que delimita un nódulo tumoral. (Fotografía tomada en el Servicio de Anatomía Patológica del HCULB).

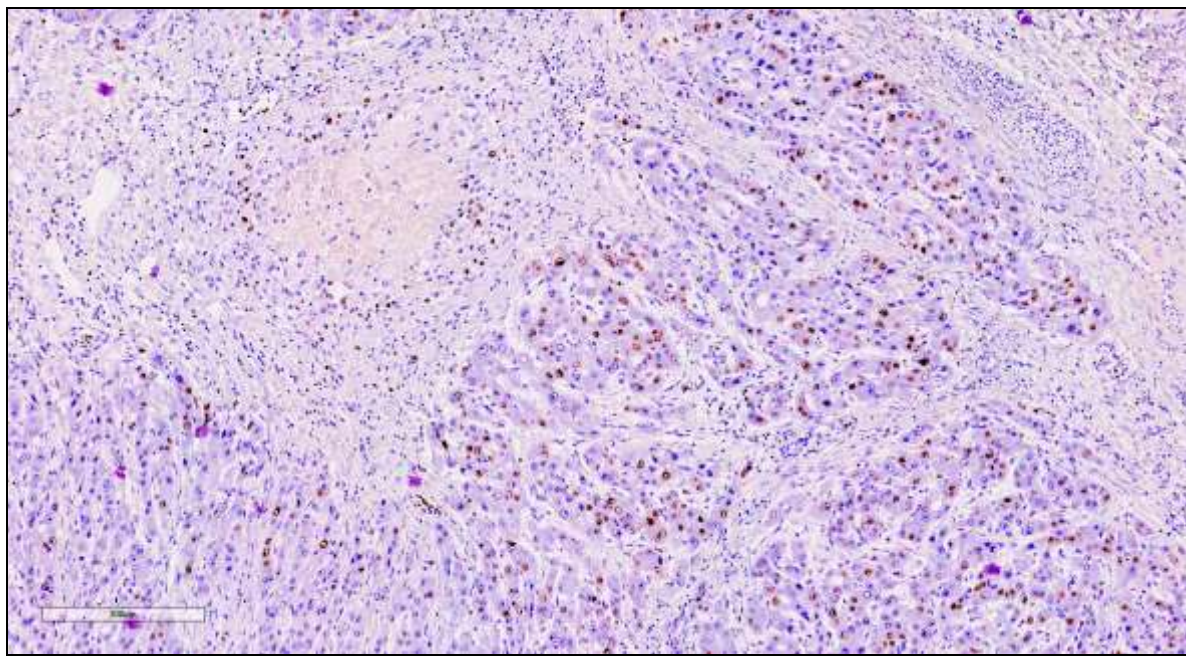


Figura 16: Tinción del marcador Ki67 en un CHC con patrón trabecular (Fotografía tomada en el Servicio de Anatomía Patológica del HCULB).

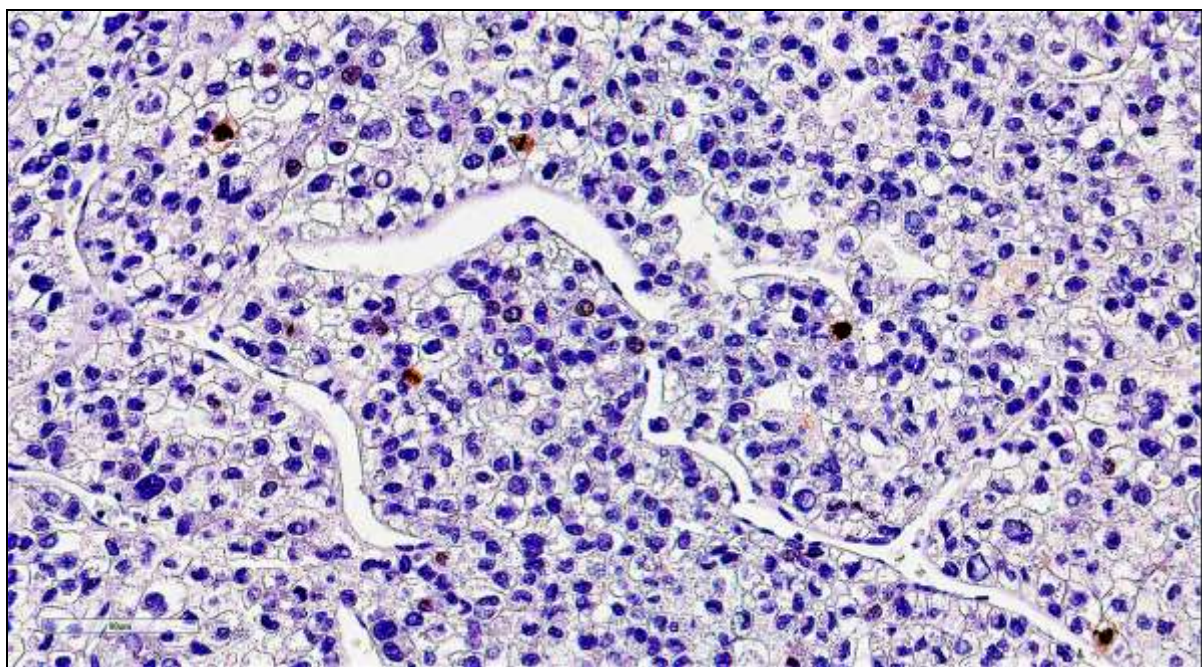


Figura 17: Tinción con patrón nuclear del marcador inmunohistoquímico Ki67 en un CHC con células claras (Fotografía tomada en el Servicio de Anatomía Patológica del HCULB).

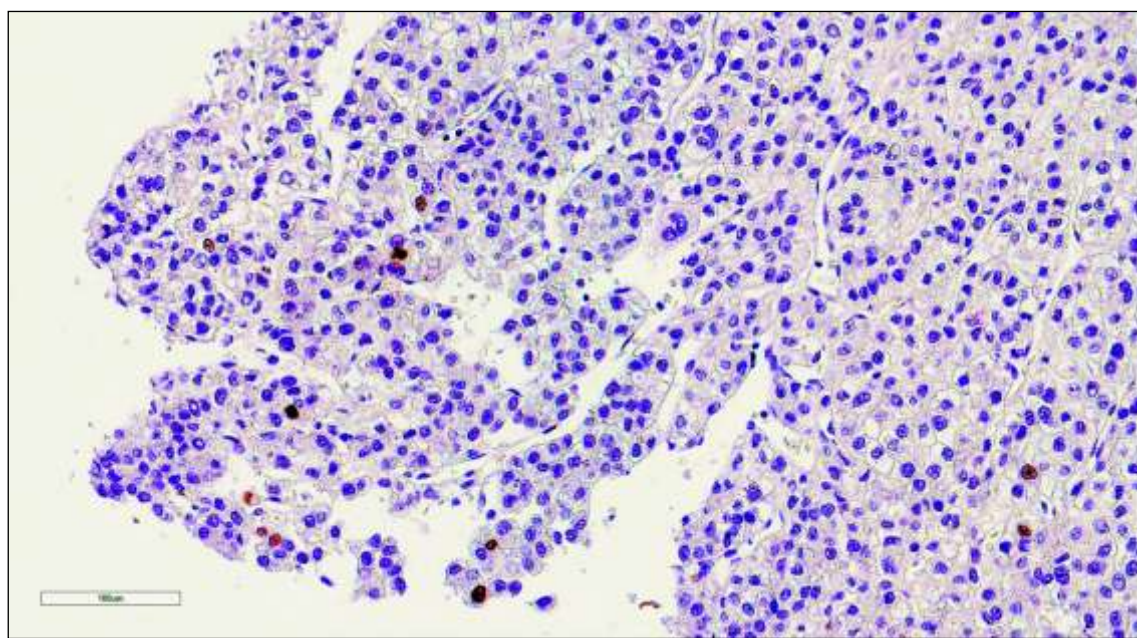


Figura 18: Tinción del marcador Ki67 (Fotografía tomada en el Servicio de Anatomía Patológica del HCULB).